

压电自感知柔性悬臂梁振动控制系统研究

缙新科^{1,2}, 李大鹏¹

(1. 兰州理工大学 电气工程与信息工程学院, 甘肃 兰州 730050; 2. 甘肃省工业过程先进控制重点实验室, 甘肃 兰州 730050)

摘要:将压电悬臂梁系统离散化的状态空间方程作为预测模型, 设计了预测函数控制器。采用电桥电路法分离出压电自感知执行器的感知信号, 经过预测函数控制器处理后输出的控制信号作用于自感知执行器, 产生相应的执行力来抑制悬臂梁的振动, 从而达到振动控制的目的。仿真结果表明, 所设计的振动控制系统对柔性悬臂梁振动抑制是非常有效的。

关键词:压电自感知执行器; 电桥电路法; 预测函数控制; 柔性悬臂梁; 振动控制

中图分类号: TP13; O328 文献标识码: A

Study on Flexible Cantilever Beam Vibration Control System Based on Piezoelectric Self-sensing Actuator

GOU Xinke^{1,2}, LI Dapeng¹

(1. College of Electrical and Information Engineering, Lanzhou University of Technology, Lanzhou 730050, China;

2. Key Lab. of Gansu Advanced Control for Industrial Processes, Lanzhou 730050, China)

Abstract: Regarding the discrete state-space equation as prediction model, the paper designs the predictive functional controller. The sense signal of piezoelectric self-sensing actuator is separated by the bridge circuit. After processing the sense signal with the predictive functional controller, the control signal is outputted to control piezoelectric self-sensing actuator. The stress is produced from the self-sensing actuator to control the flexible cantilever beam vibration. The simulation results show the designed system is very efficient for vibration suppression.

Key words: piezoelectric self-sensing actuator; bridge circuit; predictive functional control; flexible cantilever beam; vibration control

0 引言

由于柔性悬臂梁结构自身具有挠度高、阻尼低的特性, 当受到外扰时, 会产生激烈且持续的振动, 影响了结构的性能, 因此对柔性结构的振动控制是必要的。在柔性结构振动控制系统中, 实现主动振动控制需要有传感、控制、执行单元作为结构的外属部分, 这样势必造成系统整体结构的庞大, 附加质量大影响了结构的本身特性; 同时, 传统方法使用独立的传感器、执行器很难做到同位配置, 对设计和工艺提出了更高要求^[1-2]。在众多的智能材料中, 压电材料以其特有的正、逆压电效应在结构振动控制中得到了广泛应用。压电自感知执行器作为执行器的同时又可作为传感器, 具有结构体积小, 可实现同位配置等优点^[3-4]。本文将一片压电片作为自感知执行

器, 采用电桥电路法, 设计了柔性悬臂梁振动控制系统。

1 压电元件的物理模型

Dosch 等提出的压电元件等效模型如图 1 所示, 其中 V_p 为压电片受到应力时产生的感应电压, C_p 为等效电容。采用电桥电路的信号分离方法^[5], 如图 2 所示, 将压电自感知执行器做一个桥臂, C_r 为参考电容, C_1 、 C_2 为串联容抗, V_c 为控制电压。电桥输出电压为

$$V_s = \left(\frac{C_p}{C_1 + C_p} - \frac{C_r}{C_2 + C_r} \right) V_c - \frac{C_p}{C_1 + C_p} V_p \quad (1)$$

电桥平衡条件为 $C_1 C_r = C_2 C_p$, 此时 V_s 正比于 V_p , 即

$$V_s = -[C_p / (C_1 + C_p)] V_p \quad (2)$$

收稿日期: 2010-09-28

作者简介: 缙新科(1966-), 男, 甘肃天水人, 教授, 硕士生导师, 硕士, 主要从事智能结构及其动力学系统控制的研究。



图1 压电元件等效模型

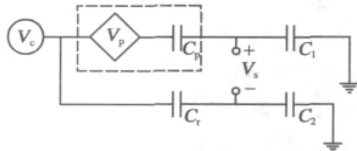


图2 压电自感知执行器电桥电路

2 压电悬臂梁系统建模

压电悬臂梁模型如图3所示,梁的弹性模量为 E , 抗弯截面模量为 I , 密度为 ρ , 长度为 L , 宽度为 b_b , 厚度为 t_b , 横截面积为 S , 压电片的弹性模量为 E_p , 厚度为 t_p , 长度为 l_p , 压电应力常数为 e_{31} , 压电常数为 d_{31} , 压电传感器的等效电容为 C_p 。

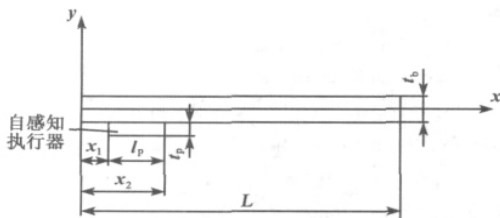


图3 压电悬臂梁模型

根据振动理论,悬臂梁的横向振动偏微分方程为

$$EI \frac{\partial^4 \omega(x, t)}{\partial x^4} + \rho S \frac{\partial^2 \omega(x, t)}{\partial t^2} = F V_c [h(x - x_2) - h(x - x_1)] \quad (3)$$

式中: $F = \frac{1}{2} b_b d_{31} E_p (t_b + t_p)$; $\omega(x, t)$ 为悬臂梁的挠度; $h(x)$ 为 Heaviside 阶跃函数; V_c 为控制输入电压。

利用正压电效应,压电片上由于形变引起的电压为

$$V_p = \frac{b_b e_{31} t_p}{2 C_p} [\omega'(x_2) - \omega'(x_1)] \quad (4)$$

由分离原理可知,梁的挠度为

$$\omega(x, t) = \sum_{i=1}^{\infty} \Phi_i(x) \eta_i(t) \quad (5)$$

式中: $\eta_i(t)$ 为模态坐标; $\Phi_i(x)$ 为关于质量归一化的正交模态函数。

模态坐标下梁的振动平衡方程可写成

$$\ddot{\eta}_i(t) + 2\xi_i \omega_i \dot{\eta}_i(t) + \omega_i^2 \eta_i(t) = B_i V_c(t) \quad (6)$$

其中

$$B_i = \frac{1}{2} b_b d_{31} E_p (t_b + t_p) [\Phi'_i(x_2) - \Phi'_i(x_1)] \quad (7)$$

式中: ξ_i 为第 i 阶模态阻尼比; ω_i 为第 i 阶模态固有频率; $\Phi'_i(x)$ 为振型函数对 x 的 1 阶导数。

将式(5)代入式(4)有

$$V_p = \sum_{i=1}^{\infty} b_b e_{31} \frac{t_p}{2} [\Phi'_i(x_2) - \Phi'_i(x_1)] \eta_i(t) \quad (8)$$

令

$$\hat{C}_i = \frac{b_b e_{31} t_p}{2} [\Phi'_i(x_2) - \Phi'_i(x_1)] \quad (9)$$

则

$$V_p = \sum_{i=1}^{\infty} \hat{C}_i \eta_i(t) \quad (10)$$

引入状态向量

$$x(t) = [\eta_1, \eta_2, \dots, \eta_n, \dot{\eta}_1, \dot{\eta}_2, \dots, \dot{\eta}_n]^T \quad (11)$$

压电悬臂梁系统状态空间方程为

$$\begin{cases} \dot{x} = Ax + BV_c \\ y(t) = V_p = Cx \end{cases} \quad (12)$$

其中

$$A = \begin{bmatrix} 0_{n \times n} & I_{n \times n} \\ -\Lambda & -2\xi_i \omega_i \end{bmatrix} \quad (13)$$

$$\Lambda = \text{diag}(\omega_1^2 \dots \omega_n^2) \quad (14)$$

$$B = \begin{bmatrix} 0_{n \times 1} \\ B_i \end{bmatrix} \quad (15)$$

$$C = [\hat{C}_i, 0_{1 \times n}] \quad (16)$$

3 基于状态空间方程的预测函数控制

3.1 预测函数控制的基本原理

预测函数控制(PFC)是20世纪80年代由 Richalet^[6]提出的,它在保持模型预测控制优点的同时,通过引入基函数的概念增强了输入控制量的规律性,提高了快速性和准确性,可有效地减少算法的在线计算量。图4为PFC基本原理的系统框图。

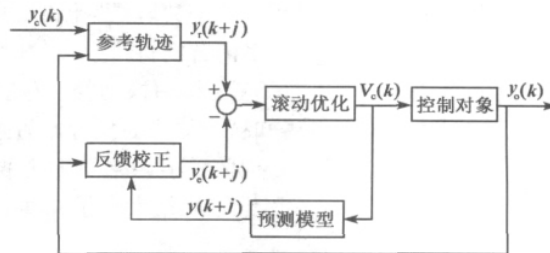


图4 PFC基本原理方框图

图中控制量采用如下结构:

$$V_c(k+j) = \sum_{n=1}^N \mu_n f_n(j) \quad (j=0, 1, \dots, P-1) \quad (17)$$

式中: $f_n(j)$ 为基函数在第 j 时刻的采样值, 基函数可以是阶跃、斜坡和指数等基本函数; k 为当前采样时刻; $V_c(k+j)$ 为从 k 时刻起第 $k+j$ 时刻的预测控制量; N 为基函数个数; P 为预测的时域长度; μ_n 为加权系数。

参考轨迹形式为

$$y_r(k+j) = y_c(k+j) - \alpha^j [y_c(k) - y_o(k)] \quad (18)$$

式中: $y_c(k)$ 为跟踪输出设定值; $y_o(k)$ 为系统实际输出; $\alpha = \exp(-\frac{T_s}{T_r})$, T_s 为采样时间, T_r 为 95% 参考轨迹响应时间。

一般取预测误差为

$$e(k+j) = y_o(k) - y(k) \quad (19)$$

式中 $y_e(k+j) = y(k+j) + e(k+j)$ 为修正后的预测输出。

滚动优化是依据某一性能指标的最优化来求解控制量的。PFC 滚动优化的目标就是求解一组系数 $\mu_1, \mu_2, \dots, \mu_N$ 使整个优化时域内的预测输出尽可能接近参考轨迹。

3.2 预测函数控制及其实现步骤

采用离散化的状态空间方程作为预测模型, 则

$$\begin{cases} x(k) = Ax(k-1) + BV_c(k-1) \\ y(k) = Cx(k) \end{cases} \quad (20)$$

式中: $x(k)$ 、 $y(k)$ 分别为系统状态矢量和输出矢量; A 、 B 、 C 分别为系统矩阵、输入矩阵、输出矩阵。

$k+j$ 时刻模型的预测输出为

$$y(k+j) = CA^j x(k) + CA^{j-1} BV_c(k) + \dots + CABV_c(k+j-2) + CBV_c(k+j-1) \quad (21)$$

将控制量 $V_c(k+j) = \sum_{n=1}^N \mu_n f_n(j)$ 代入式 (21)

得

$$y(k+j) = CA^j x(k) + \Theta^T G(j) \quad (22)$$

其中

$$\Theta = [\mu_1, \mu_2, \dots, \mu_N]^T \quad (23)$$

$$G(j) = [g_1(j), g_2(j), \dots, g_N(j)]^T \quad (24)$$

$$g_n(j) = CA^{j-1} B f_n(0) + CA^{j-2} B f_n(1) + \dots + CB f_n(j-1) \quad (25)$$

定义二次型性能指标为

$$\min J(k) = \min \sum_{i=1}^S [y_r(k+h_j) - y_m(k+h_j) - e(k+h_j)]^2 \quad (26)$$

式中: S 为优化时域内拟合点数量; h_j 为第 j 个拟合点上的值。

令 $\frac{\partial J(k)}{\partial \Theta} = 0$, 对 $J(k)$ 最优化求解并计算出当前

控制量 $V_c(k)$ 为

$$V_c(k) = k_c [y_c(k) - y_o(k)] + k_m x(k) \quad (27)$$

其中

$$k_c = f_n^T(0) \Pi \begin{bmatrix} 1 - \alpha^{h_1} \\ \vdots \\ 1 - \alpha^{h_s} \end{bmatrix} \quad (28)$$

$$k_m = -f_n^T(0) \Pi C \begin{bmatrix} A^{h_1} - I \\ \vdots \\ A^{h_s} - I \end{bmatrix} \quad (29)$$

$$\Pi = (GG^T)G^{-1} \quad (30)$$

$$f_n^T = [f_1(0), f_2(0), \dots, f_N(0)] \quad (31)$$

式中 I 为与矩阵 A 同阶的单位矩阵。

预测函数控制算法的实现步骤:

- 1) 确定系统的预测模型矩阵 A 、 B 、 C , 给定基函数的选择, 给定 T_s 、 T_r 等相关参数, 离线计算出 G 、 Π 、 α 、 k_c 、 k_m 。
- 2) 给定系统初始状态 $x(0)$ 和控制量的初始值 $V_c(0)$ 。
- 3) 读入系统 k 时刻实际输出值 $y_o(k)$ 及跟踪设定值 $y_c(k)$ 。
- 4) 计算 $x(k)$ 。
- 5) 计算 k 时刻的控制量 $V_c(k)$ 。
- 6) 令 $k=k+1$, 返回第 3) 步。

4 控制系统设计及仿真分析

系统闭环控制器设计如图 5 所示。

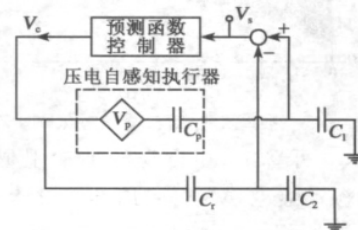


图 5 闭环控制系统原理图

当梁受到扰动时, 控制系统的工作过程: 压电片作为传感器时, 电桥电路输出与振动速度成比例的

感应电压 V_s , 经预测函数控制器处理后, 输出控制电压 V_c . 反馈到压电片的电极上; 作为执行器时, 当受到控制电压 V_c 的控制, 压电片会产生相应的执行力来抑制梁的扰动变形, 从而达到振动控制的目的。

选用的梁和压电片的具体参数如表 1 所示。

表 1 梁和压电片的物理参数

参数	梁	压电片
长度/mm	1 800	30
宽度/mm	10	10
厚度/mm	3	1
密度/(kg/m ³)	2.7×10^3	7.51×10^3
弹性模量/GPa	70	63
d_{31} /(pC/N)		210
电容/nF		10.5

忽略压电片对悬臂梁的影响, 采用模态截断法取前 2 阶模态, 经计算, 1、2 阶模态固有频率为 $\omega_1 = 4.7936 \text{ rad/s}$, $\omega_2 = 30.0431 \text{ rad/s}$ 。假设结构阻尼为 $\zeta_1 = \zeta_2 = 0.65$, 对悬臂梁末端施加初始位移为 5 cm 的扰动, 对悬臂梁的前两阶模态进行控制, 启动预测函数控制器, 使用 MATLAB 进行仿真, 结果如图 6、7 所示。

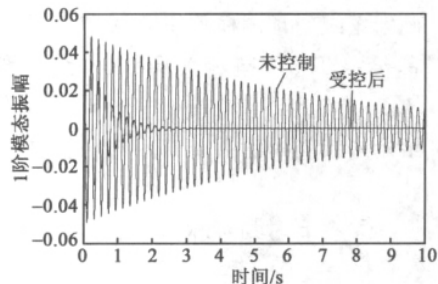


图 6 系统 1 阶模态振动效果图

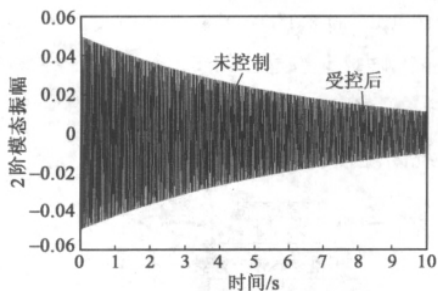


图 7 系统 2 阶模态振动效果图

从图 6、7 可看出, 在自身的结构阻尼下, 系统 1、2 阶模态振动衰减很慢。采用本文设计的控制器

对梁进行控制后, 由于控制器输出控制电压使压电片产生抑制力, 悬臂梁的振动衰减明显加快, 经几次震荡后很快就到达了稳态。

5 结束语

将压电片作为自感知执行器, 设计了柔性悬臂梁振动控制系统。系统中采用了电桥电路法分离出感知信号。将离散化的状态空间方程作为预测模型, 设计了预测函数控制器。仿真结果表明, 所设计的控制系统能很好地抑制柔性悬臂梁振动。

参考文献:

- [1] 费红姿, 郑钢铁, 黄文虎. 柔性振动预测控制的仿真研究[J]. 振动工程学报, 2003, 16(3): 321-325.
FEI Hongzi, ZHENG Gangtie, HUANG Wenhui. Simulation study on predictive vibration control of flexible structure[J]. Journal of Vibration Engineering, 2003, 16(3): 321-325.
- [2] 孙煜博, 秦建斌. 压电智能悬臂梁最优控制建模与仿真[J]. 机械工程与自动化, 2008, 2: 59-61.
SUN Yubo, QIN Jianbin. Modeling and simulation of piezoelectric smart cantilever beam based on optimal control system[J]. Mechanical Engineering & Automation, 2008, 2: 59-61.
- [3] CHAN K W, LIAO W H. Self-sensing actuators with passive damping for adaptive vibration control of hard disk drives[J]. Microsyst Technol, 2009, 15(3): 355-366.
- [4] 董维杰, 孙宝元, 崔玉国, 等. 基于压电自感知执行器悬臂梁振动控制[J]. 大连理工大学学报, 2001, 41(1): 77-80.
DONG Weijie, SUN Baoyuan, CUI Yuguo, et al. Vibration control of cantilever beam using self-sensing actuator[J]. Journal of Dalian University of Technology, 2001, 41(1): 77-80.
- [5] DOSCH J J, INMAN D J, GARCIA E. Self-sensing piezoelectric actuator for collocated control[J]. J Intell Mater Syst Struct, 1992, 3(1): 166-185.
- [6] RICHALET J, DOSS S A A, ARBER C, et al. Predictive functional control: Applications to fast and accurate robots[A]. In: Isermann R ed. Automatic Control 10th Triennial World Congress of IFAC[C]//Oxford: Pergamon Press, 1988: 251-258.